

**3. EST & Creutzfeldt Jakob, suite à la présence de nano-cristaux piézoélectriques dans l'air,
à l'empoisonnement aux métaux lourds et à la malnutrition.**

Harald Kautz,
PDG d'Aquarius Technologies,
membre du consortium timeloopsolution

Résumé

Des expériences avec l'agent transmissible de l'EST ont montré qu'il résiste à des températures allant jusqu'à 800°C degrés, et doit donc être classé comme étant cristallin. En général, la maladie est associée à des concrétions de protéines-prions-macromolécules dégénérées. Des études plus approfondies ont révélé que les vaches atteintes d'EST présentent une dégénérescence du tissu nerveux (chaînes de protéines-prion-cuivre), qui implique le démantèlement de la tubuline protectrice, généralement causée par l'empoisonnement au mercure, une extraction du cuivre du nerf lui-même, et un réassemblage du tissu nerveux ferromagnétique composé de chaînes de protéines-prion dissociées et de manganèse, d'argent, de baryum ou de strontium. Le tissu nouvellement développé est ferromagnétique par nature, il est donc sensible aux champs électromagnétiques, et a tendance à s'interconnecter avec le baryum et/ou le strontium à la surface des nano-cristaux piézoélectriques, à base de baryum. Il semble probable que ce cristal soit l'entité isolée comme agent transmissible - et non les liens de la chaîne protéine-prion qui devraient être détruits à haute température. Les cristaux mis en évidence comme étant liés à la maladie, sont comparés aux cristaux provenant de la pyrolyse par pulvérisation de plasmas particulaires, dans les moteurs à réaction pour des applications militaires telles que la surveillance 3D du champ de bataille, l'amélioration de la portée des radars, les lentilles focales colonnaires et les antennes à plasma de dérive horizontale, contenant du $(Ba,Sr_x)TiO_3$ piézoélectrique. Ces cristaux piézoélectriques transforment les ondes électromagnétiques et acoustiques en courant électrique, déclenchant ainsi des réactions en chaîne neuroleptiques qui conduisent aux symptômes typiques observés chez les vaches atteintes d'EST. Pour évaluer l'image globale de cette pathogénie, des parallèles sont discutées sur le concept de nano-bots neuronaux auto-assemblés, conçus pour former des nœuds neuronaux artificiels comme interface entre les signaux radio et l'activité neuronale. Des implications sont données, concernant le fait que la même condition est décrite chez les humains comme le Creutzfeldt Jakob, et que le concept offre un espace pour une zone de travail sans symptômes, dans laquelle le contrôle externe du système nerveux pourrait être possible sans aucun symptôme qui serait classé comme une condition médicale. Le mécanisme est discuté dans le cadre des idées de la médecine environnementale concernant les maladies dégénératives et auto-immunes, en général.

Mots-clés : <TSE> <BSE > <Rinderwahn> <Mad Cow Disease> <Creutzfeldt Jakob> <Dementia> <Demenz> <ALS> <Alzheimers> <Alzheimer> <Parkinson> <environmental medicine> <Milieumedizin> <timeloopsolution> <Harald Kautz-Vella> <Harald Kautz> <timeloop protocol> <timeloop Protokol>

Contenu

1.	Introduction	3
2.	Méthode	4
3.	Résultats.....	5
3.1.	Détection des piézocristaux dans l'environnement.....	5
3.2.	Calcul des quantités totales.....	9
3.3.	Description du rôle des piézocristaux dans TSE/Creutzfeldt Jakob.....	12
3.4.	Description du rôle de l'organophosphate dans TSE/Creutzfeldt Jakob.....	14
3.5.	Comparaison avec les concepts de nano-robots largement discutés.....	15
3.6.	Toxicité synergique pendant les situations de vol.....	16
4.	Discussion.....	17
5.	Remerciements.....	18
6.	Littérature citée ou référencée par ordre alphabétique.....	18
7.	Graphiques.....	20

Veillez également consulter les autres publications de cette série :

APPROCHE DE LA MÉDECINE ENVIRONNEMENTALE AUX MALADIES INDUITES PAR LA GÉOINGÉNIERIE

- 1. Liés à l'Autisme, les Vers de Corde et les Organes de Fructification des Morgellons Affichent-ils la Même Signature Biotechnologique?**
- 2. Maladie des Fibres, Pseudo-Parasites Intestinaux, Parasitose Délirante et Autisme. Les Multiples Facettes de la Maladie de Morgellon Expliquées.**

Y compris un guide pour le diagnostic et un protocole thérapeutique.
- 3. EST & Creutzfeldt Jakob, Suite à la Présence de Nano-Cristaux Piézoélectriques dans l'Air, L'empoisonnement aux Métaux Lourds et à la Malnutrition.**
- 4. Régimes, Suppléments et Remèdes Disponibles pour Contrer les Maladies, Liées au Candida, les Maladies Dégénératives de la Vieillesse et les Conditions du Spectre de l'Autisme.**

1. Introduction

Depuis 2004, la microscopie qualitative des eaux de pluie en Allemagne montre des retombées répétées de $(\text{Ba}, \text{Sr}_x) \text{TiO}_3$, ou de cristaux aux propriétés électro-optiques identiques¹. En raison de sa non-solubilité dans les acides faibles, le $(\text{Ba}, \text{Sr}_x) \text{TiO}_3$ n'est pas détectable par les analyses environnementales, standard. Les piézocristaux ne sont pas présents dans la nature, la méthode la plus économique de production industrielle est la pyrolyse par pulvérisation pendant la combustion à des températures rétrogrades de 750-600 degrés°C², une chute de température qui est donnée dans les moteurs à réaction standard pendant le vol normal. Ce processus chimique est décrit comme le chemtrailing dans des documents pédagogiques, utilisés à l'académie de l'armée de l'air américaine³, et apparemment cette technologie est dans l'air depuis 1996 aux États-Unis, et depuis 2003 dans les pays membres du partenariat pour la paix, de l'OTAN. Dans tous ces pays, l'effet de photo-ionisation typique du titanate de baryum et de strontium dopé aux terres rares, peut être observé sur des ciels nocturnes sans nuages qui, la plupart du temps, présentent de la brume et des traînées de condensation persistantes du côté ensoleillé et un ciel nocturne clair, sans traînées, du côté nocturne du ciel. Ni la vapeur d'eau, ni la poussière de carbone ne se photo-ionisent. Le $(\text{Ba}, \text{Sr}_x) \text{TiO}_3$ le fait.

L'efficacité du processus de production de nanoparticules dans la pyrolyse par pulvérisation est de 85%⁴, donc on peut s'attendre à ce que 15% des sels de métaux faibles, utilisés comme additifs dans le chemtrailing, soient détectables en tant que baryum ou strontium par une analyse environnementale standard. L'évaluation des dépôts secs et humides, recueillis par les services de surveillance de l'environnement de l'État de Bavière et du Brandebourg, a révélée l'existence d'une source d'aérosols de baryum relativement nouvelle, qui peut être estimé à 865 tonnes de baryum par an, tombant sur le territoire allemand. En supposant qu'il s'agit des 15 % de produits chimiques faibles, résultant de la pyrolyse par pulvérisation, comme le montre le chapitre 3.2, la quantité totale de piézocristaux peut être calculée à environ 14 870 tonnes par an (en supposant un rapport Ba/Sr de 1). A partir de ces constatations, la question s'est posée de savoir si ces piézocristaux peuvent causer des dommages à la santé ou à la nature. En ce qui concerne la vie végétale, les cristaux peuvent expliquer le retard de croissance des plantes observées dans de nombreux domaines de l'agriculture, par l'absorption des signaux de division cellulaire de 260 nm (biophotons)⁵, et l'apparition de taches brunes à la surface des feuilles, en raison du courant électrique libéré par les piézocristaux lorsqu'ils sont déclenchés par le rayonnement micro-ondes terrestre⁶. En ce qui concerne la santé humaine, les piézocristaux à base de baryum/strontium ont été identifiés par une étude en tant qu'agent transmissible de la maladie de la vache folle (EST)⁷. Cependant, dans la nature libre, la maladie n'est pas causée par les cristaux seuls, il faut à la fois une pollution par les métaux lourds et un sous-approvisionnement important en cuivre pour que les animaux développent des symptômes reconnus comme une maladie grave⁸. Chez l'homme, l'équivalent de l'EST est la maladie de Creutzfeldt-Jakob.

L'explication scientifique selon laquelle l'EST est causée par des protéines animales mal repliées, entraînant des réactions auto-immunes, doit être remise en question pour plusieurs raisons. La résistance à la température de l'agent transmissible en est une. La seconde est que la forme humaine de la maladie auto-immune, induite par le

¹ L'auteur de cette image, pour des raisons sécuritaires, préfère rester anonyme.

² Kammler, Hendrik K.; Mädler, Lutz; Pratsinis, Sotiris E.: Flame Pyrolysis of Nanoparticles. WILEY-VCH. Chem. Eng. Technol. 24 (2001) 6.

³ Chemtrails. Chemistry 131 Manual Fall 1990, Department of Chemistry, U.S. Air Force Academy

⁴ M. Enhessari, A. Parviz, K. Ozaee, H. Habibi Abyaneh: Synthesis and characterization of barium strontium titanate (BST) micro/nanostructures prepared by improved methods. Int.J.Nano Dim.2(2): 85-103, Autumn 2011

⁵ Harald Kautz-Vella: The Chemistry in Contrails. Assessing the Impact of Aerosols from Jet Fuel Impurities, Additives and Classified Military Operations on Nature. OPEN Mind Conference, Oslo 2012. P. 42ff November 2016 online at: <http://www.aquarius-technologies.de/veroeffentlichungen.html>

⁶ Ebd

⁷ M.Purdey: Elevated silver, barium and strontium in antlers, vegetation and soils sourced from CWD cluster areas: do Ag/Ba/Sr piezoelectric crystals represent the transmissible pathogenic agent in TSEs? US PubMed, US National Library of Medicine National Institutes of Health Online at:

[http://www.ncbi.nlm.nih.gov/pubmed/15236778?ordinalpos=1&itool=EntrezSystem2.PEntrez.Pubmed.Pubmed_ResultsPanel.Pubmed_Discov eryPanel.Pubmed_Discovery_RA&linkpos=1&log\\$=relatedarticles&logdbfrom=pubmed](http://www.ncbi.nlm.nih.gov/pubmed/15236778?ordinalpos=1&itool=EntrezSystem2.PEntrez.Pubmed.Pubmed_ResultsPanel.Pubmed_Discov eryPanel.Pubmed_Discovery_RA&linkpos=1&log$=relatedarticles&logdbfrom=pubmed) on Dec. 16th 2012.

⁸ Ebd

cannibalisme, est bien connue et diffère beaucoup de la forme humaine de l'EST appelée Creutzfeldt Jakob. Nous devons donc examiner des explications alternatives.

La pathogénèse nécessite la destruction de la tubuline protectrice qui protège le système nerveux au niveau des cellules réceptrices, comme c'est le cas lors d'un empoisonnement au mercure, et une carence en cuivre qui peut être causée soit par la malnutrition⁹, soit - comme dans le cas de la pandémie de 1983 en Grande-Bretagne - par un chélate contenant du TCP, qui épuise le cuivre et faisait partie d'un traitement obligatoire du bétail du pays. Depuis 1982, les agriculteurs britanniques sont contraints par la loi de traiter leurs vaches contre la mouche du ver, avec un organophosphate systémique à verser, appelé phosmet - formulé à l'origine comme une arme par les chimistes nazis pendant la Seconde Guerre mondiale. Les hommes d'argent n'ont pas tardé à réaliser son potentiel de profit et, après la guerre, il a été exclusivement commercialisé comme pesticide agricole par ICI. Plus tard, ils l'ont rebaptisé Zeneca¹⁰. Sous son influence, le tissu nerveux dénudé, composé de chaînes de protéines-prion-cuivre se désassemble et se réassemble en chaînes de protéines-prion-baryum/strontium/argent/manganèse, qui pourraient s'interconnecter aux piézocristaux à base de baryum/strontium disponibles dans le tissu, formant ainsi des nœuds neuronaux artificiels qui peuvent être déclenchés par des ondes électromagnétiques et/ou acoustiques¹¹. La biochimie de cette affection a été étudiée et décrite par M. Purdey, basée sur la microscopie de cerveaux de vaches affectés.

Cette analyse de la pathogénèse présente une ressemblance structurelle avec le concept de nano-bots neuronaux auto-assemblés, considérés comme une technologie trans-humaniste possible, destinée à créer une interface de lecture/écriture entre les signaux radio et le système nerveux humain. La visualisation en 3D de ces technologies montre une unité d'émission/réception sphérique, avec un tissu nerveux artificiel en forme de tentacule se développant au sommet de ce récepteur et s'interconnectant avec le tissu nerveux humain¹².

La question se pose de savoir s'il existe un état non pathologique de cette technologie trans-humaniste en dessous de la condition médicale trouvée comme Creutzfeldt Jakob, qui affecte un pourcentage plus élevé de la population humaine, et donc représenterait une interface de travail, qui peut être abusée pour avoir accès au système nerveux des individus ou comme mesure de contrôle mental, collectif.

2. Méthode

Les idées présentées dans cet article sont principalement basées sur le travail et la compréhension de M. Purdey, qui, au moment de la pandémie de la vache folle en Grande-Bretagne en 1983, dirigeait une ferme écologique avec un troupeau de bovins. Purdey a refusé le traitement obligatoire contre les poux pour son bétail, et n'a donc pas perdu un seul de ses animaux à cause de la maladie de la vache folle, alors que 4 animaux nouvellement acquis qui avaient reçu le traitement sont morts. À partir de là, il a commencé ses recherches pour comprendre la maladie et la raison pour laquelle son bétail a survécu¹³. Lorsque j'ai découvert les travaux de Purdey, j'avais moi-même une

⁹ Hiroshi Tomita: Trace Elements in Clinical Medicine. Proceedings of the Second Meeting of the International Society for Trace Element Research in Humans (ISTERH) August 28-September 1, 1989, Tokyo. Springer-verlag, Tokyo, Berlin, Heidelberg, New York, London Paris Hong Kong 1990. P. 467.

¹⁰ Purdey M.: Ecosystems supporting clusters of sporadic TSEs demonstrate excesses of the radical - generating divalent cation manganese and deficiencies of antioxidant co factors Cu, Se, Fe, Zn. Does a foreign cation substitution at prion protein's Cu domain initiate TSE? High Barn Farm, Elworthy, Taunton, UK. Med Hypotheses 2000 Feb;54(2):278-306

¹¹ M. Purdey: Elevated silver, barium and strontium in antlers, vegetation and soils sourced from CWD cluster areas: do Ag/Ba/Sr piezoelectric crystals represent the transmissible pathogenic agent in TSEs? US PubMed, US National Library of Medicine National Institutes of Health Online at:
[http://www.ncbi.nlm.nih.gov/pubmed/15236778?ordinalpos=1&itool=EntrezSystem2.PEntrez.Pubmed.Pubmed_ResultsPanel.Pubmed_DiscoveryPanel.Pubmed_Discovery_RA&linkpos=1&log\\$=relatedarticles&logdbfrom=pubmed](http://www.ncbi.nlm.nih.gov/pubmed/15236778?ordinalpos=1&itool=EntrezSystem2.PEntrez.Pubmed.Pubmed_ResultsPanel.Pubmed_DiscoveryPanel.Pubmed_Discovery_RA&linkpos=1&log$=relatedarticles&logdbfrom=pubmed) on Dec. 16th 2012.

¹² Nanobot replacing neuron. Original 3D animation by <http://www.cg4tv.com/nanobot-neurons-3d-animation.html>

¹³ Compare Mark Purdeys wikipedia file, at https://en.wikipedia.org/wiki/Mark_Purdey

formation en surveillance de l'environnement, liée aux dommages causés par les piézocristaux à la vie végétale. J'avais déjà acquis une connaissance approfondie des propriétés électro-optiques des cristaux, principalement grâce à leur rôle dans les technologies militaires et d'autres applications de haute technologie, comme l'holographie laser à couplage à 4 faisceaux, ainsi que l'interférence de ces matériaux avec les biophotons. Une fois la prise de conscience sur l'analogie structurelle de la condition médicale (TSE/Creutzfeldt Jakob) et du concept de la technologie transhumaniste, le parallèle mis en discussion dans cet article est évidente.

3. Résultats

3.1. Détection de piézocristaux dans l'environnement

Les images suivantes présentent des gouttes de pluie séchées, collectées en Allemagne au cours des années 2004-2015. Il s'agit d'exemples uniques mais représentatifs d'un historique de monitoring qui a rassemblé des milliers de photos. La source souhaite rester anonyme pour des raisons de sécurité, en utilisant le nom *Soyez humain*, comme référence.

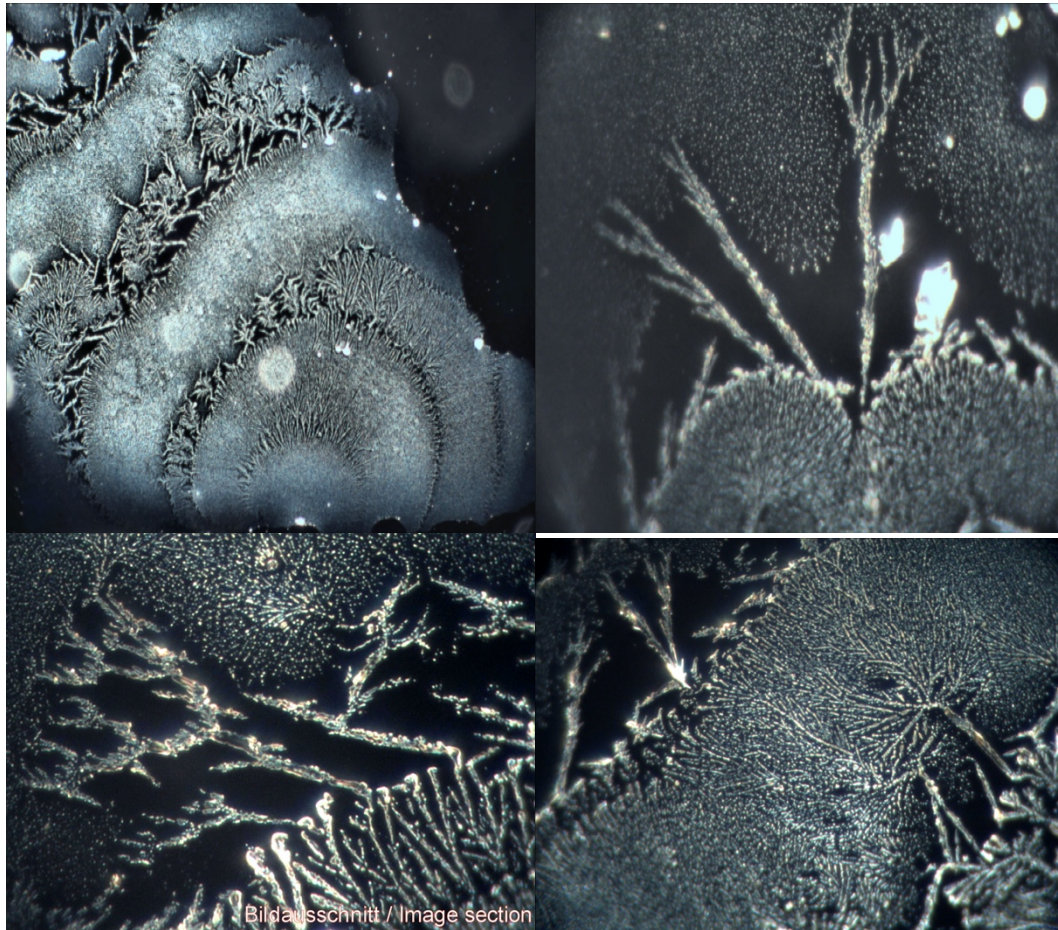


Fig. 1-4 : Quatre images typiques de l'eau de pluie - microscopie réalisée avec une résolution de 1:5000. Les structures cristallines sont à l'échelle micrométrique et nanométrique. L'auto-organisation du cristal, pendant le séchage des gouttes, montre une sorte de propriété électromagnétique qui fait que les cristaux se comportent comme de petits aimants s'alignant les uns à côté des autres.

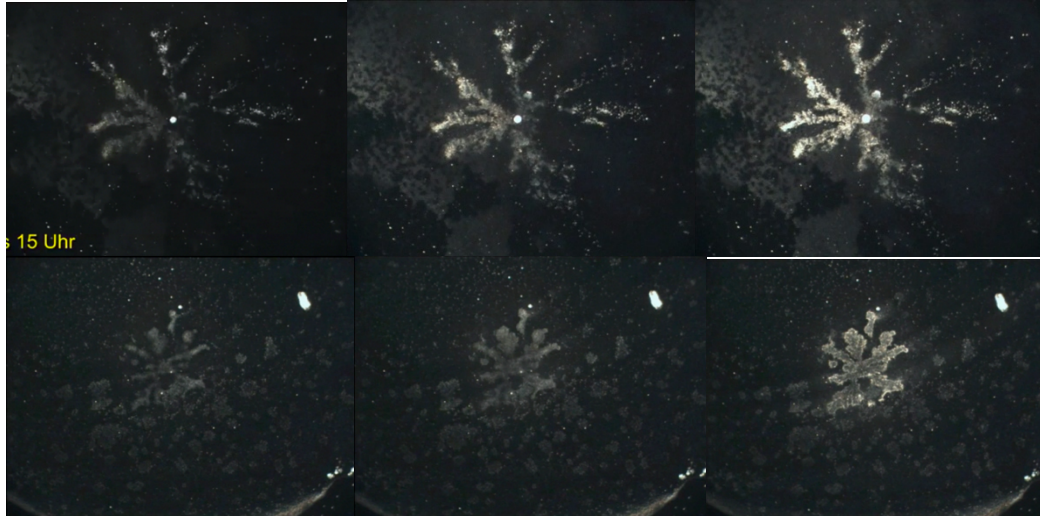


Fig. 5-7 ; 8-10 : Ces images sont des captures d'écran prises à partir de séquences de films de gouttes de pluie séchées. Lorsque les exemples ont été exposés à la chaleur corporelle, rayonnée par le bout du doigt du scientifique, les cristaux ont commencé à briller en lumière blanche. Cet effet peut s'expliquer par la capacité du $(\text{Ba}, \text{Sr}_x)\text{TiO}_3$, dopé aux terres rares, à convertir les photons entrants de l' infrarouge en lumière visible.

Il s'agit d'une publication privée sans arrière-plan commercial.
Cependant, les droits d'auteur pour les images utilisées doivent être payés
et s'élèvent à un montant de plusieurs milliers de dollars.
J'ai décidé d'entreprendre cette démarche, en espérant
que les personnes qui apprécient ce travail seront disposées à
contribuer par des dons pour couvrir ces droits d'auteur.
Si vous souhaitez contribuer, veuillez utiliser le compte paypal avec l'eMail :
kautzvella@gmail.com



Fig. 11 : Cette diapositive montre la capacité des amas de cristaux à traiter des structures de champ binaires et rectangulaires, telles qu'é émises par les antennes en trèfle associées, qui contrôlent la technologie militaire associée aux amas de cristaux dans le ciel.

Wikipedia décrit les propriétés des cristaux comme suit :

Le titanate de baryum est une céramique diélectrique utilisée pour les condensateurs. Les céramiques $BaTiO_3$ à structure pérovskite sont capables d'atteindre des valeurs de constante diélectrique aussi élevées que 7 000 ; d'autres céramiques, comme le dioxyde de titane (TiO_2), ont des valeurs comprises entre 20 et 70. Dans une gamme de température étroite, des valeurs aussi élevées que 15 000 sont possibles ; les matériaux céramiques et polymères les plus courants ont des valeurs inférieures à 10.

C'est un matériau piézoélectrique pour les microphones et autres transducteurs. La polarisation spontanée des monocristaux de titanate de baryum à température ambiante varie entre 0,15 C/m² dans les études antérieures, et 0,26 C/m² dans les publications plus récentes, et sa température de Curie se situe entre 120 et 130°C. Les différences sont liées à la technique de croissance, les premiers cristaux obtenus par flux étant moins purs que les cristaux actuels, obtenus par le procédé Czochralski, qui présentent donc une polarisation spontanée plus importante et une température de Curie plus élevée.

En tant que matériau piézoélectrique, il a été largement remplacé par le titanate de zirconite de plomb, également connu sous le nom de PZT. Le titanate de baryum poly-cristallin présente un coefficient de température positif, ce qui en fait est un matériau utile pour les thermistances et les systèmes de chauffage électrique autorégulateurs.

Les cristaux de titanate de baryum sont utilisés en optique non linéaire. Ce matériau présente un gain de couplage de faisceau élevé et peut être utilisé dans les longueurs d'onde du visible et du proche infrarouge. Il possède la réflectivité la plus élevée des matériaux utilisés pour les applications de conjugaison de phase auto-

pompée (SPPC). Il peut être utilisé pour le mélange à quatre ondes en continu, avec une puissance optique de l'ordre du milliwatt. Pour les applications photo-réfractives, le titanate de baryum peut être dopé par divers autres éléments, par exemple le fer.

Les films minces de titanate de baryum présentent une modulation électro-optique à des fréquences supérieures à 40 GHz¹⁴.

Les piézocristaux sont des cristaux présentant deux géométries cristallographiques, distinctes, possibles, rectangulaires et rhombiques, toutes deux stables à température ambiante, qui peuvent être commutées par interaction avec l'environnement. Les contraintes et les déformations, la lumière et les autres champs électromagnétiques, ainsi que le courant appliqué, peuvent être transformés par le cristal en une expression différente parmi la liste des interactions possibles, données. Les applications les plus courantes sont la conversion de la contrainte en électricité et du courant alternatif en pression sonore (piézo haut-parleurs). Cette liste inclut la photo-ionisation, c'est-à-dire, l'entrée de la lumière et l'expulsion du courant¹⁵. Dans le cas des variétés dopées aux terres rares, une autre propriété électro-optique est décrite comme la capacité de convertir les photons à la hausse¹⁶, c'est-à-dire de capter un certain nombre de photons à la suite, puis d'émettre le contenu énergétique total de la lumière stockée sous la forme d'un seul photon de fréquence double ou triple. Ces émissions de photons uniques ont un caractère longitudinal (un seul front d'onde qui se déplace), ce qui permet au cristal de présenter des propriétés plus exceptionnelles, utilisées en optique non linéaire. Le terme de conjugaison de phase auto-pompée (SPPC) se rapporte à la physique de plus haute dimension, telle qu'elle est étudiée en optique non linéaire, y compris le couplage de faisceaux, c'est-à-dire, l'interférence optique et l'annihilation partielle de deux ou quatre faisceaux lumineux ouvrant la physique à un espace 4D, avec un potentiel scalaire variable (fraction annihilée de la densité du champ électromagnétique) comme quatrième dimension¹⁷. Le concept est important

¹⁴ Compare wikipedia entry on Barium titanate: https://en.wikipedia.org/wiki/Barium_titanate

¹⁵ [Robert W. Boyd](#): Nonlinear Optics. Academic Press. Boston, San Diego, New York, London, Sydney, Tokyo, Toronto 1992. P. 415.

¹⁶ Upconversion as a transhumanistic concept: Yunxin Liu, Wojciech A. Pisarski, Songjun Zeng, Changfu Xu and Qibin Yang: Tricolor upconversion luminescence of Rare earth doped BaTiO₃ nanocrystals and lowered color separation. Institute of Modern Physics, Xiangtan University, Xiangtan 411105, China, Institute of Chemistry, University of Silesia, Szkolna 9, 40-007 Katowice, Poland, Key Laboratory of Low dimensional materials and application technology, Ministry of Education, Xiangtan 411105, China. As a transhumanistic concept: G. Chen, T. Ohulchanskyy, A. Kachynski, H. Ågren and P.N. Prasad: Intense Visible and Near-Infrared Upconversion Photoluminescence in Colloidal LiYF₄:Er(3+) Nanocrystals under Excitation at 1490 nm. ACS NANO 5, 4981, 2011. C. Yuan, G. Chen, P.N. Prasad, T.Y. Ohulchansky, Z. Ning, H. Tian, L. Sun and H. Ågren: Use of colloidal upconversion nanocrystals to energy relay solar cell light harvesting in the near infrared region. J. Mat.Chem. 22, 16709, 2012. VIJAYALAKSHMI, R.; RAJENDRAN, V. (*Department of Physics, Presidency College, Chennai, TamilNadu,*

¹⁷ .C. Maxwell: *A Treatise on Electricity and Magnetism*, in 2 Volumes, Oxford 1873, 2nd edition 1881 (Publ. by W. D. Niven), compared to 3rd ed. 1891 (Hrsg. J. J. Thomson).

See also:

E. T. Whittaker, "On the partial differential equations of mathematical physics," *Mathematische Annalen*, Vol. 57, 1903, p. 333-355. 11 V.K. Ignatovich, "The remarkable capabilities of recursive relations," *American Journal of Physics*, 57(10), Okt. 1989, S. 873-878.

E. T. Whittaker, "On an expression of the electromagnetic field due to electrons by means of two scalar potential functions," *Proceedings of the London Mathematical Society, Series 2*, Vol. 1, 1904, p. 367-372.

Amnon Yariv, *Optical Electronics*, 3rd edn., Holt, Rinehart and Winston, New York, 1985. Chapter 16: "Phase Conjugate Optics - Theory and Applications."

David M. Pepper, "Nonlinear optical phase conjugation," *Optical Engineering*, 21(2), März/April 1982, S. 156-183. S. 156.

David M. Pepper, "Applications of optical phase conjugation," *Scientific American*, 254(1), Jan. 1986, p. 74-83. Especial regard the visual proof for time reversal. On p. 75

Carl Barus, "A curious inversion in the wave mechanism of the electromagnetic theory of light," *American Journal of Science*, Vol. 5, Fourth Series, May 1898, p. 343-348

T. E. Bearden and Walter Rosenthal, "On a testable unification of electromagnetics, general relativity, and quantum mechanics, Proceedings of the 26th Intersociety Energy Conversion Engineering Conference (IECEC '91), Aug. 4-9, 1991, Boston, Massachusetts, p. 487-492.

Robert G. Sachs, *The Physics of Time Reversal*, University of Chicago Press, Chicago, Illinois, 1987

lorsqu'il s'agit de créer une interface avec des entités biologiques, qui traitent une partie de leurs biophotons (également des émissions de photons uniques)¹⁸ dans l'état annihilé¹⁹. Les cristaux ont le pouvoir d'interagir avec cette lumière, tout en étant dans l'état annihilé de la physique.

À ce stade, il est important de comprendre que la capacité de conversion ascendante des photons, comme le montrent les photos ci-dessus, n'est possible qu'avec des variétés de titanate de baryum-strontium, dotées de terres rares, qui n'existent pas dans la nature. Le dopage aux terres rares nécessite des éléments comme l'euprotium et/ou l'yttrium, ce qui laisse supposer un contexte technologique qui doit être lié exactement aux propriétés des cristaux dopés, c'est-à-dire aux possibilités technologiques qu'ils offrent.

3.2. Calcul des quantités totales

Au cours des dernières décennies, divers instituts d'État ont analysé le dépôt atmosphérique sec (poussière) et la teneur en métaux lourds de la matière organique (dépôt humide), principalement en testant soit le dépôt de poussière dans un conteneur couvert d'un toit, pour être protégé de la pluie, soit des échantillons d'herbes normalisées, cultivées pendant une période de 4 semaines. Cette étude se réfère principalement aux publications du Landesumweltamt Brandenburg²⁰ et du Bayerisches Landesamt für Umwelt²¹, deux autorités régionales, et à quelques sources mineures, comme l'analyse des cendres des centrales électriques à biomasse fonctionnant sur l'herbe. Ces mesures sont disponibles jusqu'à l'année 2011. Étant donné que le Bundesumweltamt a décidé depuis 2012 de se conformer uniquement à la "Convention CEE-ONU sur la pollution transfrontalière à longue distance", et à la législation européenne "Richtlinie 2008/50EG de mai 2008", les institutions nationales ne surveillent plus aujourd'hui le baryum, le strontium et le titane.

L'examen de toutes les mesures officielles des dépôts de baryum, disponibles en ligne, a montré une diminution des dépôts secs de plus de 90 % au cours des 15 dernières années et, au cours de la même période, une augmentation estimée des dépôts humides de baryum de près de 100 %. Cette évolution totalement opposée est remarquable. Les dépôts secs proviennent principalement de la pollution industrielle et de l'absorption de la poussière du sol. Les dépôts humides sont associés aux aérosols. Des données officielles plus récentes que 2011 ne sont pas disponibles auprès des sources officielles.

¹⁸ Nissen, Ted M.A. M.T.: Ultra-weak Photon (Biophoton) Emissions (UPE)-Background Introduction, Copyright © September 2006 Ted Nissen, online October 23rd 2012 at <http://www.anatomyfacts.com/research/photonc.htm>

¹⁹ Bajpai Ram P., Bajpai PK, Roy D.: Ultraweak photon emission in germinating seeds: a signal of biological order. *JBiolumin Chemilumin.* 1991 Oct-Dec;6(4):227-30.

See also:

Bajpai Ram P.: Quantum coherence of biophotons and living systems. *Indian J Exp Biol.* 2003 May;41(5):514-27.

Korotkov K. Measuring Energy Fields. Proceedings of the International Conference "Vastu Panorama", Indoor, India, 2008.

Korotkov K. General principles of electrophotonic analysis. Proceedings of the International Scientific Conference "MEASURING ENERGY FIELDS", Kamnik, Tunjice, 2007, pp. 87-92.

Korotkov K., Williams B., Wisneski L. Biophysical Energy Transfer Mechanisms in Living Systems: The Basis of Life Processes. *J of Alternative and Complementary Medicine*, 2004, 10, 1, 49-57.

²⁰ Landesumweltamt Brandenburg: Staubbiederschlag und Niederschlagsdeposition. Studien und Tagungsberichte Band 36. Studien und Tagungsberichte, Schriftenreihe des Landesumweltamtes Brandenburg ISSN 0948-0838.

²¹ Bayerisches Landesamt für Umwelt: Lufthygienischer Jahresbericht. See also: Bayerisches Landesamt für Umwelt: 30 Jahre Immissionsökologie am Bayerischen Landesamt für Umwelt

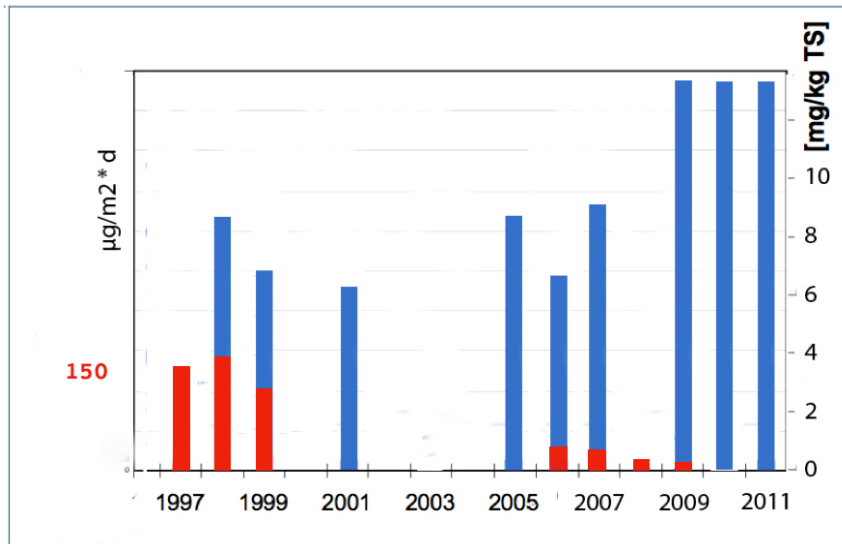


Fig. 12 : Comparaison des dépôts humides (bleu) et secs (rouge) de baryum, en Allemagne, entre 1997 et 2011. Les données proviennent de la surveillance environnementale de l'État en Bavière et dans le Brandebourg. En raison des différentes méthodes de mesure, les deux échelles ne sont pas comparables en nombre total, néanmoins la différence de tendance permet de tirer un certain nombre de conclusions.

Pour 2012, nous avons basé les statistiques sur 60 échantillons de pluie disponibles, prélevés par des personnes privées, et analysés dans des laboratoires certifiés. Ces échantillons ont été collectés et contrôlés, par l'initiative "Sauberer Himmel e.V."

Ces résultats doivent être examinés dans le contexte d'une pollution fortement réduite par tous les autres métaux. Le graphique suivant présente le plomb, à titre d'exemple.

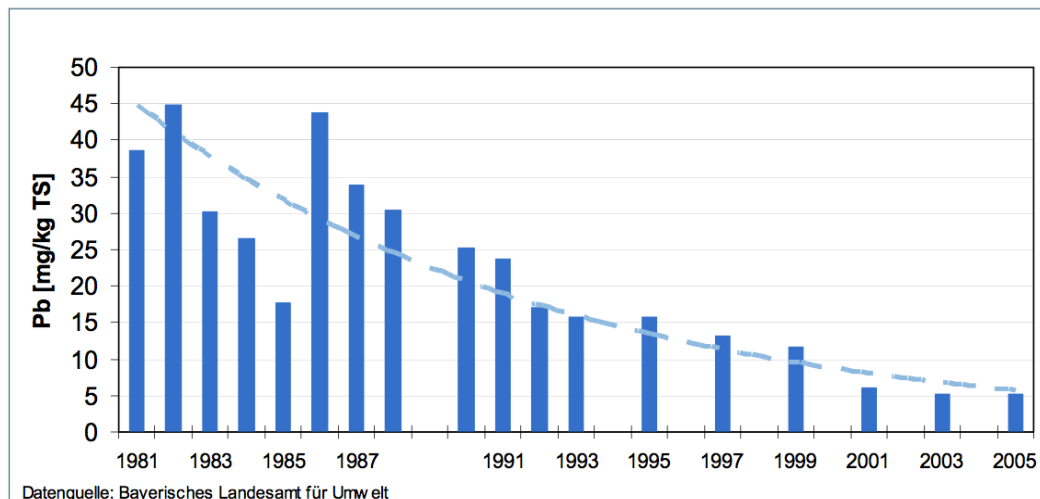


Fig. 13 : Plomb en mg/kg d'échantillons d'herbe séchée (dépôt humide) au cours des trois dernières décennies.

Le strontium et le titane ont à peine été mesurés par les autorités nationales. Le dépôt sec de baryum a été réduit comme la plupart des autres polluants provenant de l'industrie lourde. Il n'y a pas de source de baryum dans le sol, comme les mines ou l'industrie, qui puisse expliquer l'augmentation des niveaux de pollution enregistrés dans les dépôts humides. Les quantités élevées de baryum semblent provenir directement de la pluie, ce qui laisse penser que les aérosols de haute altitude en sont la source et donc, que la géo-ingénierie ou les pulvérisations à des fins militaires sont possibles.

L'évaluation statistique de 72 échantillons d'eau de pluie par l'auteur, recueillis par l'initiative allemande "pour un ciel propre" (Sauberer Himmel), indique une quantité d'environ 911 tonnes de baryum tombant sur l'Allemagne, au cours de l'année 2012²².

La tonne-équivalent totale, calculée à partir des échantillons d'herbe, peut être estimée à 1625 t de baryum en 2011 (sur la base de la production moyenne d'herbe, par hectare), cependant cette quantité doit également refléter le dépôt sec, ainsi qu'une partie du baryum absorbé par les plantes du sol provenant du substrat minéral²³. Il est important de noter que ces valeurs s'accordent à la valeur mesurée des échantillons analysés par "Sauberer Himmel e.V."

Si la source originale de la pollution industrielle au baryum a été réduite de 90 % au cours des 15 dernières années, comme le montrent les valeurs des dépôts secs, et que les valeurs globales comprenant les dépôts humides et secs ont augmenté d'environ 100 % depuis 2001, il n'y a pas d'autre explication, il s'agit d'une nouvelle source, explicitement liée aux aérosols provenant de la pluie, enregistrée uniquement dans l'analyse des dépôts humides.

Cette nouvelle source serait alors responsable de 90 % des valeurs totales pour l'année 2012. Il faut donc supposer un dépôt atmosphérique d'au moins 865 t de baryum, provenant d'aérosols tombés avec la pluie des hautes altitudes, dérivant de cette nouvelle source.

Il est difficile d'indiquer la présence de $(\text{Ba}, \text{Sr}_x) \text{TiO}_3$ dans la nature. Les mesures du baryum, du strontium et du titane bio-disponibles indiquent les éléments en solution, mais en raison de la non-solubilité de $(\text{Ba}, \text{Sr}_x)\text{TiO}_3$, ces mesures n'indiquent pas du tout les nanocristaux. Une analyse du contenu minéral total montrerait correctement Ba, Sr et Ti en tant qu'éléments individuels lorsqu'elle est effectuée avec de l'acide fluoré uniquement, lorsque l'acide nitrique est utilisé - ce qui est la méthode standard - $(\text{Ba}, \text{Sr}_x) \text{TiO}_3$ n'apparaîtrait pas du tout.

Les chiffres mesurés doivent provenir des restes de la production de cristaux, réalisé par pyrolyse en spray. Avec un rapport de 15% détectables, pour 85% de non détectables, comme décrit dans la littérature sur la pyrolyse industrielle par pulvérisation, nous devons multiplier par 5,666 le nombre calculé pour arriver à la quantité de Baryum liée aux nano-cristaux non détectables.

$$865 \text{ t} \times 5,666 = 4901 \text{ t}$$

Cela donne 4901 tonnes de Baryum, lié à des nano-cristaux indétectables.

Supposons que la cristallographie réelle est un $(\text{Ba}_{0,5}, \text{Sr}_{0,5})\text{TiO}_3$.

Pour le rendre calculable en référence au poids atomique des éléments individuels, nous notons $(\text{Ba}, \text{Sr}) 2 \text{TiO}_3$.

Le poids atomique des éléments impliqués est :

$$\text{Ba} = 137,33 \text{ g/mol} ; \text{Sr} = 87,62 \text{ g/mol} ; \text{Ti} = 47,87 \text{ g/mol} ; \text{O} = 16 \text{ g/mol}.$$

La masse molaire totale de la molécule serait de :

$$137,33 \text{ g/mol} + 87,62 \text{ g/mol} + 2 \times 47,87 \text{ g/mol} + 6 \times 16 \text{ g/mol} = 416,69 \text{ g/mol}.$$

²² Harald Kautz-Vella: The Chemistry in Contrails. Assessing the Impact of Aerosols

²³ ebd.

La quantité de baryum liée aux cristaux doit être multipliée par 416,69/137,33, pour calculer la quantité des piézocristaux aériens, ce qui donnerait un total de 14.870 tonnes de $(\text{Ba}_{0,5}, \text{Sr}_{0,5})\text{TiO}_3$, par an.

Pour répéter le chiffre : Cela représente **14.870** tonnes de matériaux classés comme dangereux pour l'environnement, par les autorités de l'État, dans leur fonction probable d'agent transmissible de l'EST, qui pleuvent sur l'Allemagne chaque année.

En raison du rapport inconnu entre le baryum et le strontium, ce chiffre peut varier. Cependant, la gamme des valeurs possibles peut être estimée. Les deux $(\text{Ba}_{0,25}, \text{Sr}_{0,75})\text{TiO}_3$ et $(\text{Ba}_{0,75}, \text{Sr}_{0,25})\text{TiO}_3$ sont des cristaux communs. Pour donner un aperçu de la variabilité de la valeur : la quantité totale pourrait facilement doubler pour atteindre 29.740 tonnes, ou être réduite d'un tiers pour atteindre 9.913 tonnes.

3.3. Description du rôle des piézocristaux dans l'EST/Creutzfeldt Jakob

Dans l'une de ses dernières études, M. Purdey a examiné l'état des EST, survenant dans les zones de regroupement des EST en Amérique du Nord. À ce moment-là, il était toujours convaincu que les piézocristaux faisant partie de la condition médicale étaient, initialement, formés à l'intérieur du corps. Dans le résumé de son article, il déclare :

Résumé - Des niveaux élevés d'argent (Ag), de baryum (Ba) et de strontium (Sr) et de faibles niveaux de cuivre (Cu) ont été mesurés dans les cornes, les sols et les pâturages des cerfs, qui prospèrent dans les zones de regroupement de la maladie du dépérissement chronique (CWD) en Amérique du Nord, par rapport aux zones où la CWD et d'autres encéphalopathies spongiformes transmissibles (TSE) n'ont pas été signalées. On pense que les élévations de Ag, Ba et Sr proviennent de sources géochimiques naturelles et de polluants artificiels - provenant de la pratique courante de la pulvérisation aérienne avec des noyaux de cristaux d'Ag ou de Ba "ensemencés dans les nuages", pour faire de la pluie dans ces régions d'Amérique du Nord sujettes à la sécheresse, de la pulvérisation atmosphérique d'aérosols à base de Ba pour améliorer/réfracter les communications par signaux radar et radio, ainsi que de l'épandage de boue de forage Ba usagée, provenant de l'industrie locale des puits de pétrole/gaz sur les pâturages. Ces métaux se sont ensuite bio-concentrés dans la chaîne alimentaire et dans les mammifères qui dépendent des écosystèmes locaux, déficients en cuivre. Une double théorie d'éco-préalable est proposée sur l'étiologie des EST, qui est basée sur une liaison de remplacement de l'Ag, du Ba, du Sr ou du Mn aux domaines Cu/Zn vacants, sur les molécules cellulaires de protéine prion (PrP)/protéoglycane sulfaté, ce qui diminue les capacités du cerveau à se protéger contre les chocs d'énergie sonore et lumineuse, entrants. La chélation par l'Ag/Ba/Sr du soufre libre dans le biosystème inhibe la synthèse viable des protéoglycane dépendant du soufre, qui entraîne l'effondrement global de la conduction médiée par Cu des signaux électriques, le long des voies de signalisation PrP-protéoglycane, ce qui finit par perturber les courants inhibiteurs de type GABA, au niveau des synapses/plaques terminales des circuits régulés auditifs/circadiens, ainsi que la corégulation par les protéoglycane des systèmes de signalisation des facteurs de croissance qui maintiennent l'intégrité structurelle du système nerveux.

Les composés à base d'Ag, Ba, Sr ou Mn qui en résultent ensemencent des cristaux piézoélectriques, qui incorporent la PrP et la ferritine dans leur structure. Ces cristaux ordonnés ferrimagnétiquement se multiplient et étouffent les conduits PrP-protéoglycane de la conduction électrique, dans tout le SNC. La deuxième étape de la pathogenèse entre en jeu lorsque l'énergie de pression des chocs, entrants, d'ondes acoustiques de basse fréquence provenant de jets à basse altitude, d'explosions, de tremblements de terre, etc. (une éco-caractéristique clé des environnements des clusters d'EST) est absorbée par les cristaux "piézoélectriques" dévoyés, qui convertissent dûment l'énergie de pression mécanique en énergie électrique, qui s'accumule dans les agrégats cristal-PrP-ferritine (les fibrilles) jusqu'à ce qu'un point de "polarisation de saturation" soit atteint. Des champs magnétiques sont générés à la surface du cristal, ce qui déclenche des réactions en chaîne de neurodégénérescence spongiforme délétère, médiée par les radicaux libres dans les tissus environnants. Comme les cristaux piézoélectriques à base d'Ag, Ba, Sr ou Mn sont résistants à la chaleur

et possèdent une capacité pathogène induite par les champs magnétiques, il est proposé que ces cristaux ferroélectriques polluants, représentent les agents pathogènes transmissibles à l'origine des EST²⁴.

La figure suivante est l'une des photos d'un cerveau affecté, qu'il a prise au microscope.

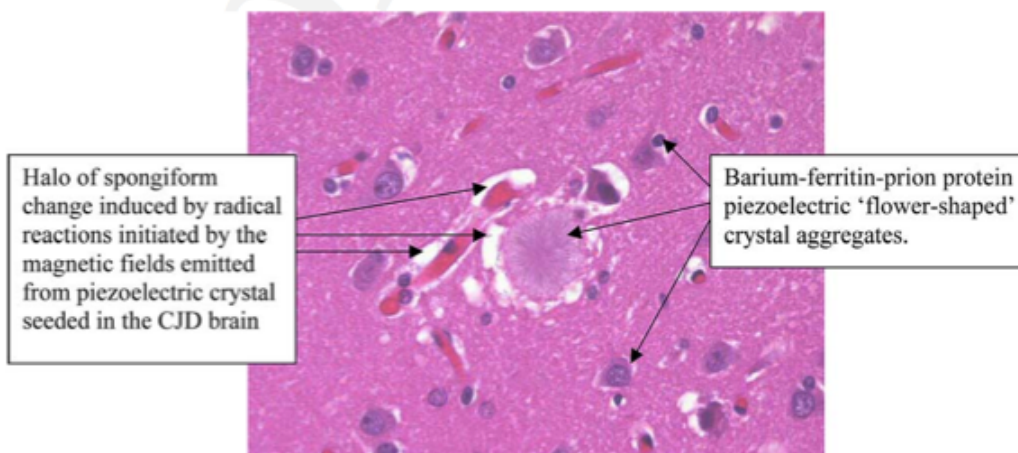


Fig. 14 : Microscopie du cerveau affecté, publiée par M. Purdey.

Plus tard, Purdey s'est concentré sur la distribution géographique des points chauds de Creutzfeldt Jakob et a pu prouver une corrélation significative avec les bases militaires voisines, utilisées pour l'entraînement au combat aérien, ou les sites industriels de production de munitions. Dans cet article, il parle déjà des piézocristaux aériens responsables de la nucléation des structures cristallines en croissance dans le cerveau :

Cet article expose les failles du consensus conventionnel sur les origines des encéphalopathies spongiformes transmissibles (EST), qui décrète que le prion, une protéine mal repliée, représente le principal agent étiologique transmissible, puis il examine et présente les données émergentes qui indiquent que l'exposition environnementale à des microcristaux métalliques polluants (provenant de munitions, etc.) représente les agents de nucléation transmissibles et résistants à la chaleur, qui ensemencent les cristaux de fibrilles de protéine de prion métallique (PrP) et de ferritine, l'origine des EST. Des données analytiques récentes sont présentées sur les niveaux de métaux dans les écosystèmes qui soutiennent les populations touchées par les clusters de la variante de la maladie de Creutzfeldt-Jacob (vMCJ), de la MCJ sporadique/familiale et des types d'EST liés à la tremblante, qui sont apparus au Royaume-Uni, en Sicile, en Sardaigne, en Calabre et au Japon. Ces données corroborent le modèle géochimique anormal (par exemple, des taux élevés de strontium (Sr), de baryum (Ba) et d'argent (Ag)) qui a été observé comme une caractéristique commune des écosystèmes des clusters d'EST en Amérique du Nord, soutenant ainsi l'hypothèse selon laquelle ces microcristaux servent de nucléateurs piézoélectriques, qui amorcent la croissance/multiplication des fibrilles aberrantes de métal-PrP-ferritine qui caractérisent la neuropathologie du cerveau malade de l'EST.

Un mécanisme pathogène secondaire implique l'inactivation des protéoglycanes sulfatés qui régulent normalement le processus de minéralisation. Ce phénomène peut être induit par une chélation du soufre libre par un métal malveillant, ou par une contamination par des polluants organo-soufrés qui se substituent aux

²⁴ M. Purdey: Elevated silver, barium and strontium in antlers, vegetation and soils sourced from CWD cluster areas: do Ag/Ba/Sr piezoelectric crystals represent the transmissible pathogenic agent in TSEs? US PubMed, US National Library of Medicine National Institutes of Health Online at: [http://www.ncbi.nlm.nih.gov/pubmed/15236778?ordinalpos=1&itool=EntrezSystem2.PEntrez.Pubmed.Pubmed_ResultsPanel.Pubmed_DiscoveryPanel.Pubmed_Discovery_RA&linkpos=1&log\\$=relatedarticles&logdbfrom=pubmed](http://www.ncbi.nlm.nih.gov/pubmed/15236778?ordinalpos=1&itool=EntrezSystem2.PEntrez.Pubmed.Pubmed_ResultsPanel.Pubmed_DiscoveryPanel.Pubmed_Discovery_RA&linkpos=1&log$=relatedarticles&logdbfrom=pubmed) on Dec. 16th 2012.

liaisons soufrées naturelles, ou encore par une mutation de la lignée cellulaire des S-protéoglycanes, ce qui permet la prolifération aberrante de formations cristallines de fibrilles inconnues, possédant une capacité piézoélectrique qui compromet la capacité de l'individu contaminé à traiter normalement les ondes de pression acoustiques/tactiles entrantes. Les cristaux transforment l'énergie sonore entrante en énergie électrique qui, à son tour, génère des champs magnétiques sur les surfaces des cristaux qui déclenchent des réactions en chaîne de neurodégénérescence spongiforme, médiées par les radicaux libres. Les agents de nucléation des microcristaux métalliques constituent un groupe de candidats étiologiques plausibles qui expliquent les propriétés uniques de l'agent causal de l'EST - telles que la résistance à la chaleur, la transmissibilité, etc. - que le modèle du prion à protéine seule ne parvient pas à remplir. Cet article traite également des mesures nutritionnelles qui pourraient être adoptées par les populations vivant dans des écosystèmes à haut risque d'EST, afin d'empêcher l'implantation de ces microcristaux et l'hyper-minéralisation des tissus mous du SNC qui en résulte²⁵.

Si Purdey associe la présence de piézocristaux à l'utilisation ou à la production de munitions, on pourrait tout aussi bien l'associer à la présence de jets volant à basse altitude utilisant du JP-8 avec 2% d'additifs militaires standard (avec des ingrédients classifiés), plus les additifs de combat qui abaissent le point de flamme et peuvent également contenir des sels de baryum et de strontium pour le chemtrailing.

3.4. Description du rôle des organophosphates dans l'EST/Creutzfeldt Jakob

Les organophosphates (OP) semblent avoir un impact neurotoxique à court et à long terme sur les mammifères et les humains. Les effets à court terme ont fait l'objet de nombreuses recherches, le principal effet étant le blocage des récepteurs de calcium dans les cellules nerveuses²⁶ :

L'empoisonnement aux organophosphates résulte d'une exposition aux organophosphates (OP), qui provoquent l'inhibition de l'acétylcholinestérase (AChE), entraînant l'accumulation d'acétylcholine (ACh) dans l'organisme. L'empoisonnement aux organophosphates résulte le plus souvent d'une exposition à des insecticides ou à des agents neurotoxiques. Les OP sont l'une des causes les plus courantes d'empoisonnement dans le monde, et sont généralement associés à des suicides dans les zones agricoles. On compte environ un million d'intoxications par OP par an, dont plusieurs centaines de milliers sont mortelles.

Les organophosphates inhibent l'AChE, provoquant l'empoisonnement aux OP en phosphorylant le résidu hydroxyle de la sérine sur l'AChE, ce qui inactive l'AChE. L'AChE étant essentielle à la fonction nerveuse, le blocage irréversible de cette enzyme, qui provoque une accumulation d'acétylcholine, et entraîne une stimulation musculaire, excessive. Cela provoque des perturbations au niveau des synapses cholinergiques et ne peut être réactivé que très lentement, voire pas du tout. La paraoxonase (PON1) est une enzyme clé impliquée dans les pesticides OP et s'est avérée être critique dans la détermination de la sensibilité d'un organisme à l'exposition aux OP²⁷.

Au-delà de cet effet, dans son article "High-dose exposure to systemic phosmet insecticide modifies the phosphatidylinositol anchor on the prion protein : the origins of new variant transmissible spongiform encephalopathies ?" M. Purdey a décrit un dommage secondaire long terme, lié au désassemblage des chaînes de PrPCu qui forment les nerfs.

L'exposition obligatoire des bovins britanniques à des doses semestrielles exclusivement élevées d'une formulation à verser "systémique" d'un warblecide organo-phthalimido-phosphoré, le phosmet, au cours des

²⁵ M. Purdey: Metal microcrystal pollutants: the heat resistant, transmissible nucleating agents that initiate the pathogenesis of TSEs? US PubMed, US National Library of Medicine National Institutes of Health Online at: <http://www.ncbi.nlm.nih.gov/pubmed/15908137> on Dec. 16th 2012.

²⁶ See also: Johnson, P.S., Michaelis, E.K. OP interactions at the NMDA receptors in brain synaptic membrane. *Mol Pharmacol.* 1992;41:750-760.

²⁷ Wikipedia entry on organophosphates

années 1980 (combinée à l'exposition aux résidus liés aux lipides du phosmet "bioconcentré" recyclé via l'alimentation intensive en farine de viande et d'os), a initié la modification de la "nouvelle souche" de la protéine prion du SNC (PrP), à l'origine de l'épidémie d'encéphalopathie spongiforme bovine (ESB), au Royaume-Uni. Une solution lipophile de phosmet a été versée le long de la colonne vertébrale du bovin, d'où elle a pénétré et s'est concentrée dans les phospholipides des membranes du SNC, modifiant de manière covalente les sites de phosphorylation endogènes sur les phosphatidylinositols (PI), etc., formant une "banque membranaire toxique" de lipides anormalement modifiés, qui "infectent" toute protéine membranaire (telle que la PrP), programmée pour se conjuguer à eux pour s'ancrer à la membrane. Ainsi, le phosmet provoque une modification covalente primaire sur l'ancrage PI de la PrP qui, à son tour, provoque une perturbation globale et diverse sur le cycle de rétroaction du second messager phosphoinositide du SNC, l'homéostasie du calcium et les radicaux libres essentiels, initiant ainsi une cascade auto-entretenu de PI-PrP anormalement phosphorylée, qui provoque une perturbation électrostatique et allostérique secondaire sur le corps principal de la PrP, empêchant le repliement tertiaire. Les protéines chaperonnes de stress se conjuguent à la PrP incorrectement composée et bloquent ses sites de clivage protéolytique. De nouvelles preuves épidémiologiques sont présentées et des preuves expérimentales sont référencées, ce qui renforce l'hypothèse multifactorielle selon laquelle l'ESB est une classe de neuro-excitotoxicité, retardée, chronique, subtile, induite par le phosmet chez les bovins sensibles, jusqu'ici non reconnue et non manifestée²⁸.

Deux autres domaines de recherche dans lesquels l'empoisonnement au TCP/TCOP a été discuté sont le syndrome de la guerre du Golfe et les problèmes de toxicité de l'air en cabine dans les vols commerciaux. Un certain nombre d'articles traitant du syndrome de la guerre du Golfe relient les dommages observés principalement au contact direct avec le carburant standard de l'OTAN JP-8, ou au contact avec ses résidus de combustion. Pendant les combats, le carburant s'évaporait intentionnellement sur les tuyaux d'échappement chauds des chars, pour couvrir les soldats suivants d'une épaisse fumée. L'intoxication par l'air de la cabine des avions civils est liée aux fumées générées par les additifs TCP dans les huiles de lubrification des turbines. Tous les avions civils (à l'exception du Boeing 787) recueillent l'air nécessaire pour le maintien de la pression de la cabine à partir du flux d'air dérivé dans les turbines. Bien que la dérivation ne doive avoir aucun lien avec les chambres de combustion, les turbines les plus anciennes laissent échapper ces fumées dans la dérivation. Le TCOP a été trouvé chez des centaines de pilotes et d'hôtesse de l'air qui présentaient des symptômes neuro-dégénératifs.

3.5. Comparaison avec les concepts de nano-robots largement débattus

Le transhumanisme projette la fusion de la biologie et de l'intelligence artificielle vers un super-être, doté d'une conscience technologique de ruche, dont Borg de la série Star Trek est représentatif. L'évaluation de ces technologies par l'examen de la recherche transhumaniste elle-même révèle qu'il existe en théorie trois points de connexion différents, visés par le transhumanisme :

- le système nerveux, une idée de ce concept est présentée par une visualisation 3D assez virale, intitulée "Nano-bot replacing neuron", que l'on peut facilement trouver sur internet. Elle montre un concept de nano-robots auto-assemblés, dans lequel des unités de réception de forme sphérique développent des tentacules qui s'interconnectent avec le tissu nerveux existant, formant de nouveaux nœuds neuronaux radiosensibles ;
- une interférence externe avec la communication lumière-ADN, réalisée par des colorants à points quantiques stockés dans des antennes plasmoniques et des cristaux plasmoniques-photoniques, hexagonaux²⁹.

²⁸ <https://www.scienceopen.com/document?vid=22bb28ef-7d31-426a-99ac-92be62b1d0fa>. Online on November 6th 2016.

²⁹ Ding B., Hrelescu C., Arnold N., Isic G., Klar T. A.: Spectral and directional reshaping of fluorescence in large area self-assembled plasmonic-photonic crystals. *Nano Letters*, Vol.013, p.378-386 (2013) Also: Woller J. G., Hannestad J. K., Albinsson B.: Self-assembled nanoscale DNA-porphyrin complex for artificial light harvesting. *Journal of the American Chemical Society*, Vol.135, p.2759-2768 (2013) Also: Sagun E., Knyukshto V. N., Ivashin N. V., Shchupak E. E.: Photoinduced relaxation processes in self-assembling complexes from CdSe/ZnS water-soluble nanocrystals and cationic porphyrins. *Optics and Spectroscopy*,

- une interférence interne avec la communication lumière-ADN, par l'infection quasi virale des noyaux avec des brins d'ARN synthétique, qui combinent une unité optogénétique avec une chaîne de transistors à paires de bases, qui réagit à des séquences de signaux sinusoïdaux de 8x50 millisecondes dans la gamme des gigahertz, pour contrôler l'unité optogénétique³⁰.

Pour comprendre la nature du premier concept, nous pourrions examiner les détails de l'auto-assemblage d'une telle technologie :

La nanorobotique est la technologie permettant de créer des machines ou des robots à l'échelle microscopique du nanomètre (10⁻⁹ mètres) ou à une échelle proche. Le préfixe "nano", en termes scientifiques, désigne les unités ultra-petites. Le nano décrit en notation technique est 10⁻⁹, soit un milliardième de mètre. Les nano-robots avancés seront capables de détecter et de s'adapter aux stimuli environnementaux tels que la chaleur, la lumière, les sons, les textures de surface et les produits chimiques, d'effectuer des calculs complexes, de se déplacer, de communiquer et de travailler ensemble, de réaliser des assemblages moléculaires et, dans une certaine mesure, de se réparer ou même de se répliquer. La nanotechnologie est la science et l'application de la création d'objets à un niveau inférieur à 100 nanomètres. Le concept de nanotechnologie est la création "ascendante" de pratiquement tous les matériaux ou objets par l'assemblage d'un atome à la fois. La nano-fabrication est la création de matériaux et de produits par : (1) l'assemblage moléculaire direct (DMA) - assemblage discret et dirigé d'atomes et de molécules individuels en matériaux et produits à grande échelle ; (2) l'assemblage cristallin indirect (ICA) - création de conditions favorisant la croissance de cristaux à l'échelle nanométrique qui sont ensuite combinés en matériaux et produits à grande échelle ; ou (3) l'assemblage à parallélisme massif (MPA) - création de nombreuses nano-machines ou nano-robots, dont les paramètres de fonctionnement leur permettent de travailler en synergie pour assembler des atomes et des molécules en matériaux et produits à grande échelle. Les stratégies d'auto-assemblage moléculaire impliquent la formation d'objets et de matériaux à l'échelle nanométrique, en l'absence de contrôle externe significatif³¹.

Bien qu'il puisse être difficile de prouver l'intention derrière ce scénario, principalement en raison de la compartimentation complète des aspects et des composants individuels, il est facile d'identifier la ressemblance structurelle de la pathogenèse de l'EST et du syndrome de Creutzfeldt-Jakob avec l'auto-assemblage réussi d'un nano-robot.

3.6. Toxicité synergique pendant les situations de vol

Parvenant en altitude, chaque passager peut observer l'entrée de l'avion dans une couche grise argentée, de poussière ou de cristaux de glace, qui s'étend d'un horizon à l'autre. De toute évidence, cette couche est générée par les gaz d'échappement des avions. L'air est aspiré dans l'avion sans aucune unité de nano-filtrage entre les deux. Par expérience personnelle, je peux dire qu'après quelques heures de vol, le système respiratoire extrait des miettes d'une poussière blanche et/ou d'un mucus laiteux. La couleur montre clairement qu'il ne s'agit pas de poussière de carbone, mais très probablement de (Ba,Sr_x)TiO₃ et de nanocristaux d'Al₂O₃³², ou de MgO³³. L'oxyde d'aluminium et l'oxyde de manganèse sont les autres types de nanocristaux trouvés, souvent, dans les échantillons de pluie, présentant une cristallographie de fils, comme le montre l'image ci-dessous :

Vol.113, p.165-178 (2012) Also: Aqueous self-assembly of an electroluminescent double-helical metallopolymer. Journal of the American Chemical Society, Vol.134, p.19170-19178 (2012)

³⁰ etc-group: extreme genetic engineering. An introduction to synthetic biology. January 2007.

Written confession of a retired technical director formerly AIT, Austria, responsible for the technical development of project „Rabe Neu“.

³¹ <http://www.nanobotmindcontrol.com/>

³² Generated by spray pyrolysis at 1700 degC retrograde to 1500 degC as found in afterburner technology

³³ Generated by spray pyrolysis at 1700 degC retrograde to 1500 degC as found in afterburner technology

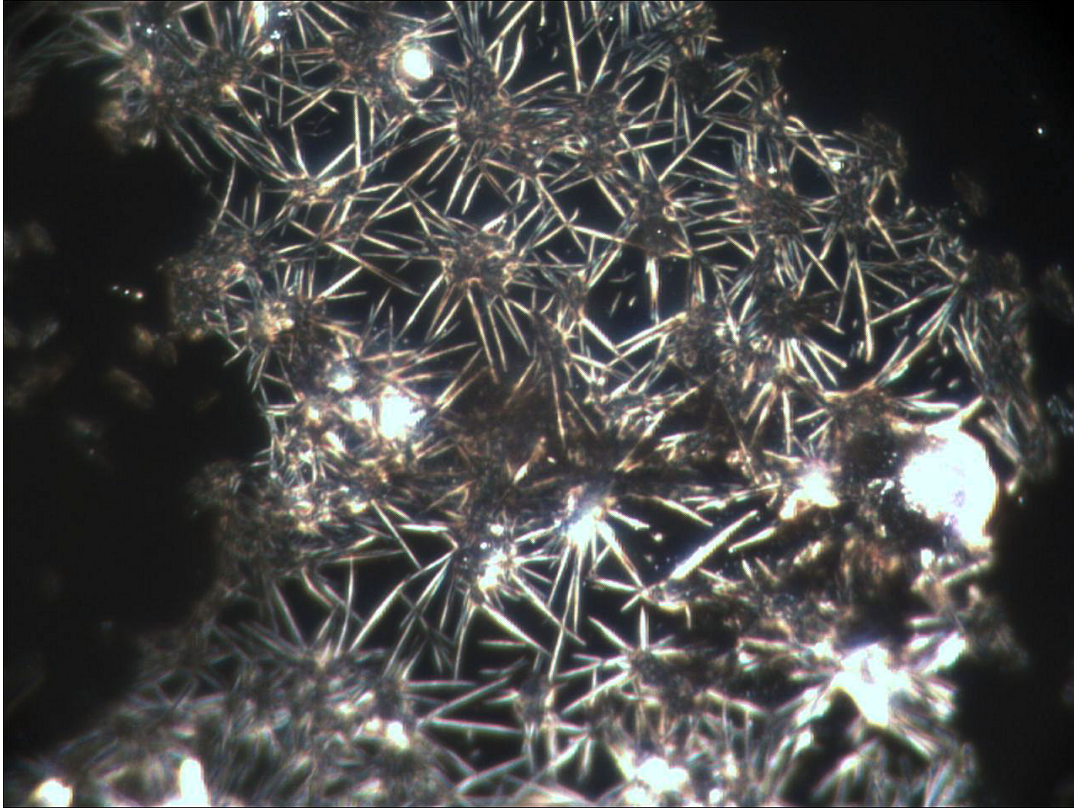


Fig. 15 : des fils dans des échantillons de pluie, collectés en Allemagne. Les fils étaient utilisés comme matériau pour le béton ultra-léger dans les années 60, mais ont été interdits d'utilisation commerciale, car il a été constaté qu'ils provoquent le cancer.

Les fils de $(\text{Ba}, \text{Sr}_x) \text{TiO}_3$ et Al_2O_3 sont les deux composés utilisés comme "plasma déclencheur" pour les technologies radar militaires. Avec une possible contamination de l'air de la cabine par le TCOP, ces deux composés suspectés de provoquer le type secondaire de maladie neurodégénérative qui conduit à l'EST et au Creutzfeldt Jacob, tel que décrit par Purdey, sont dans l'air à l'intérieur de l'avion. Aujourd'hui, il est courant que les pilotes et le personnel navigant testent le système immunitaire quant à sa capacité à détoxifier le TCOP, afin d'évaluer le risque de souffrir d'une maladie neurodégénérative³⁴.

4. Discussion

Indépendamment de l'intention possible derrière ce scénario, le fait est qu'il y a environ 15 000 tonnes de matériaux piézoélectriques bio-dangereux dans l'air, qui s'abattent sur un pays de la taille de l'Allemagne chaque année, et très probablement cette situation est représentative dans tous les pays adhérents au Partenariat pour la Paix, de l'OTAN.

D'un point de vue médical, la maladie de Creutzfeldt-Jakob est la partie émergée de l'iceberg et correspond à une neurodégénérescence modérée qui diminue la qualité de vie de la population. Aujourd'hui, en Allemagne, 50% des personnes âgées de 65 ans ou plus souffrent de l'une ou l'autre des maladies dégénératives de la vieillesse, et même de nombreuses personnes plus jeunes qui pourraient encore "fonctionner", se plaignent d'une perte de leur capacité à se concentrer et à mémoriser avec précision. Dans son dernier article, Purdey a suggéré de considérer les autres affections dégénératives comme des variations possibles de la pathogenèse du CFJ,

³⁴ Generated by spray pyrolysis at 750 degC retrograde to 600 degC as found in normal jet engines

impliquant différents métaux remplaçant le cuivre au lieu du baryum/strontium/argent. De la même manière, le plomb pourrait être responsable de la SLA, le manganèse de Parkinson, l'aluminium d'Alzheimer et de la démence.

Qu'il y ait une intention derrière tout cela ou non, les personnes responsables, principalement dans le domaine militaire, devraient arrêter de polluer la planète avec des cristaux piézoélectriques, indépendamment des jeux de guerre auxquels elles se sentent obligées de participer. Un accord international doit être négocié et mis en place, pour faire tomber tous les boucliers antimissiles et interdire le chemtrailing.

Comme cela a été fait avec le Boing 787, tous les avions doivent être équipés d'une alimentation en air qui n'utilise pas l'air des turbines pour maintenir la pression de la cabine.

En ce qui concerne une éventuelle intention, les signaux radio doivent être analysés pour identifier une éventuelle signature de contrôle mental, la source des signaux, si elle est trouvée, doit être retracée jusqu'aux systèmes d'antennes émettrices, et les personnes responsables de ces systèmes d'antennes doivent être mises en détention pour violation du traité de Nuremberg, qui rend illégale toute expérimentation médicale sans la connaissance et l'accord du patient.

Toutes les personnes qui s'efforcent aujourd'hui de blanchir l'ingénierie climatique devraient prendre conscience que le programme qu'elles proposent pour une application future n'est pas seulement illégal, mais qu'il est déjà en place. Une fois cette prise de conscience rendue publique, elles devraient s'attendre à être tenues pour responsables de leur soutien à ce programme, qui - même s'il n'est pas mortel pour tout le monde - est une forme de bioterrorisme.

Il existe toutefois une possibilité d'inverser la situation à un niveau personnel. Il s'agit d'une décision qui peut être et ne peut être prise que par chaque individu. Une vue d'ensemble des protocoles, suppléments et remèdes prometteurs et approuvés, est donnée dans l'article " Régimes, suppléments et remèdes disponibles pour contrer les maladies, liées au Candida, les maladies dégénératives de la vieillesse et les conditions du spectre de l'autisme."

5. Remerciements

Je tiens à remercier et à honorer M. Purdey pour son esprit brillant et son courage de rechercher et d'exposer l'agenda derrière l'EST. Même s'il est mort d'un cancer du cerveau, je veux qu'il sache que sa voix a été entendue.

6. Littérature citée ou référencée par ordre alphabétique

- Bajpai Ram P., Bajpai PK, Roy D.: Ultraweak photon emission in germinating seeds: a signal of biological order. JBiolumin Chemilumin.1991 Oct-Dec;6(4):227-30.
- Bajpai Ram P.: Quantum coherence of biophotons and living systems.Indian J Exp Biol. 2003 May;41(5):514-27.
- Barus, Carl: "A curious inversion in the wave mechanism of the electromagnetic theory of light," American Journal of Science, Vol. 5, Fourth Series, May 1898, p. 343-348
- Bayerisches Landesamt für Umwelt: Lufthygienischer Jahresbericht.
- Bayerisches Landesamt für Umwelt: 30 Jahre Immissionsökologie am Bayerischen Landesamt für Umwelt
- Bearden, T.E. and Walter Rosenthal, "On a testable unification of electromagnetics, general relativity, and quantum mechanics, Proceedings of the 26th Intersociety Energy Conversion Engineering Conference (IECEC '91), Aug. 4-9, 1991, Boston, Massachusetts, p. 487-492.
- Boyd, Robert W.: Nonlinear Optics. Academic Press. Boston, San Diego, New York, London, Sydney, Tokyo,

Toronto 1992. P. 415.

- Chen, G., T. Ohulchansky, A. Kachynski, H. Ågren and P.N. Prasad: Intense Visible and Near-Infrared Upconversion Photoluminescence in Colloidal LiYF(4):Er(3+) Nanocrystals under Excitation at 1490 nm. ACS NANO 5, 4981, 2011. C. Yuan, G. Chen, P.N. Prasad, T.Y. Ohulchansky, Z. Ning, H. Tian, L. Sun and H. Ågren: Use of colloidal upconversion nanocrystals to energy relay solar cell light harvesting in the near infrared region. J. Mat.Chem. 22, 16709, 2012
- Department of Chemistry, U.S. Air Force Academy: Chemtrails. Chemistry 131 Manual Fall 1990,.
- Ding B., Hrelescu C., Arnold N., Isic G., Klar T. A.: Spectral and directional reshaping of fluorescence in large area self-assembled plasmonic-photonic crystals. Nano Letters, Vol.013, p.378-386 (2013)
- Enhessari, M., A. Parviz, K. Ozaee, H. Habibi Abyaneh: Synthesis and characterization of barium strontium titanate (BST) micro/nanostructures prepared by improved methods. Int.J.Nano Dim.2(2): 85-103, Autumn 2011
- etc-group: extreme genetic engineering. An introduction to synthetic biology. January 2007.
- Johnson, P.S., Michaelis, E.K. OP interactions at the NMDA receptors in brain synaptic membrane. Mol Pharmacol. 1992;41:750–760.
- Kammler, Hendrik K.; Mädler, Lutz; Pratsinis, Sotiris E.: Flame Pyrolysis of Nanoparticles. WILEY-VCH. Chem. Eng. Technol. 24 (2001) 6.
- Katowice, Ina: Key Laboratory of Low dimensional materials and application technology, Ministry of Education, Xiangtan 411105, China.
- Kautz-Vella, Harald: The Chemistry in Contrails. Assessing the Impact of Aerosols from Jet Fuel Impurities, Additives and Classified Military Operations on Nature. OPEN Mind Conference, Oslo 2012. Updated November 2016.
- Kautz-Vella, Harald; St. Louis, Cara: Total vernebelt – giftiger Krieg. Hesper Verlag, Saarbrücken 2015.
- Korotkov K.: Measuring Energy Fields. Proceedings of the International Conference “Vastu Panorama”, Indoor, India, 2008.
- Korotkov K. General principles of electrophotonic analysis. Proceedings of the International Scientific Conference “MEASURING ENERGY FIELDS”, Kamnik, Tunjice, 2007, pp. 87-92.
- Korotkov K., Williams B., Wisneski L. Biophysical Energy Transfer Mechanisms in Living Systems: The Basis of Life Processes. J of Alternative and Complementary Medicine, 2004, 10, 1, 49-57.
- Landesumweltamt Brandenburg: Staubniederschlag und Niederschlagsdeposition. Studien und Tagungsberichte Band 36. Studien und Tagungsberichte, Schriftenreihe des Landesumweltamtes Brandenburg ISSN 0948-0838.
- Maxwell, J.C.: *A Treatise on Electricity and Magnetism*, in 2 Volumes, Oxford 1873, 2nd edition 1881 (Publ. by W. D. Niven), compared to 3rd ed. 1891 (Hrsg. J. J. Thomson).
- Nissen, Ted M.A. M.T.: Ultra-weak Photon (Biophoton) Emissions (UPE)-Background Introduction, Copyright © September 2006 Ted Nissen, online October 23rd 20012 at <http://www.anatomyfacts.com/research/photonc.htm>
- Pepper, David M.: "Applications of optical phase conjugation," Scientific American, 254(1), Jan. 1986, p. 74-83. Especial regard the visual proof for time reversal. On p. 75
- Pepper, David M.: "Nonlinear optical phase conjugation," Optical Engineering, 21(2), März/April 1982, S. 156-183. S. 156.
- Purdey M.: Ecosystems supporting clusters of sporadic TSEs demonstrate excesses of the radical-generating divalent cation manganese and deficiencies of antioxidant co factors Cu, Se, Fe, Zn. Does a foreign cation substitution at prion protein's Cu domain initiate TSE? High Barn Farm, Elworthy, Taunton,

UK. Med Hypotheses 2000 Feb;54(2):278-306

- Purdey, M.: Elevated silver, barium and strontium in antlers, vegetation and soils sourced from CWD cluster areas: do Ag/Ba/Sr piezoelectric crystals represent the transmissible pathogenic agent in TSEs? US PubMed, US National Library of Medicine National Institutes of Health.
- Purdey, M.: Metal microcrystal pollutants: the heat resistant, transmissible nucleating agents that initiate the pathogenesis of TSEs? US PubMed, US National Library of Medicine National Institutes of Health.
- Sachs, Robert G.: The Physics of Time Reversal, University of Chicago Press, Chicago, Illinois, 1987
- Sagun E., Knyukshto V. N., Ivashin N. V., Shchupak E. E.: Photoinduced relaxation processes in self-assembling complexes from CdSe/ZnS water-soluble nanocrystals and cationic porphyrins. Optics and Spectroscopy, Vol.113, p.165-178 (2012)
- Society for Trace Element Research in Humans (ISTERH) August 28-September 1, 1989, Tokyo. Springer-verlag, Tokyo, Berlin, Heidelberg, New York, London Paris Hong Kong 1990. P. 467.
- Tomita, Hiroshi: Trace Elements in Clinical Medicine. Proceedings of the Second Meeting of the International
- VIJAYALAKSHMI, R.; RAJENDRAN, V. (*Department of Physics, Presidency College, Chennai, TamilNadu, India*): SYNTHESIS AND CHARACTERIZATION OF CUBIC BaTiO₃ NANORODS VIA FACILE HYDROTHERMAL METHOD AND THEIR OPTICAL PROPERTIES. Digest Journal of Nanomaterials and Biostructures. Vol. 5, No 2, May 2010, p. 511 – 517.
- Whittaker, E.T., "On the partial differential equations of mathematical physics," Mathematische Annalen, Vol. 57, 1903, p. 333-355. 11 V.K. Ignatovich, "The remarkable capabilities of recursive relations," American Journal of Physics, 57(10), Okt. 1989, S. 873-878.
- Whittaker, E.T. "On an expression of the electromagnetic field due to electrons by means of two scalar potential functions," Proceedings of the London Mathematical Society, Series 2, Vol. 1, 1904, p. 367-372.
- Woller J. G., Hannestad J. K., Albinsson B.: Self-assembled nanoscale DNA–porphyrin complex for artificial light harvesting. Journal of the American Chemical Society, Vol.135, p.2759-2768 (2013)
- Yariv Amnon, Optical Electronics, 3rd edn., Holt, Rinehart and Winston, New York, 1985. Chapter 16: "Phase Conjugate Optics - Theory and Applications."
- Yunxin Liu, Wojciech A. Pisarski, Songjun Zeng, Changfu Xu and Qibin Yang: Tri-color upconversion luminescence of Rare earth doped BaTiO₃ nanocrystals and lowered color separation. Institute of Modern Physics, Xiangtan University, Xiangtan 411105, China, Institute of Chemistry, University of Silesia, Szko
-

7. Graphiques

Fig. 1-11 : soyez humain (anonyme ; personnellement connu de l'auteur)

Fig. 12-13 : Harald Kautz, données de la surveillance environnementale de l'État allemand

Fig. 14 : M. Purdey : Elevated silver, barium and strontium in antlers, vegetation and soils sourced from CWD cluster areas : do Ag/Ba/Sr piezoelectric crystals represent the transmissible pathogenic agent in TSEs ?

Fig. 15 : soyez humain (anonyme ; personnellement connu de l'auteur)

Avis de non-responsabilité médicale

Les informations et les guides de référence contenus dans ce document sont uniquement destinés à l'information générale du lecteur. Le contenu de ce document n'est pas destiné à offrir des conseils médicaux personnels, à diagnostiquer des problèmes de santé ou à des fins de traitement. Il ne remplace pas les soins médicaux dispensés par un professionnel de la santé agréé et qualifié. Veuillez consulter votre fournisseur de soins de santé pour tout conseil sur les médicaments.